

---

## Lista 3

# **Axissimetria e Paredes Não-Alinhadas**

## **Aeroacústica Computacional**

Aluno:

**José Pedro de Santana Neto - 201505394**

Professor: **Andrey Ricardo da Silva, PhD.**

12 de novembro de 2015

# 1 Axissimetria

## 1.1 Procedimientos

Para a implementação da simulação em questão foi seguido os seguintes procedimentos:

1. Foram implementadas as condições anecóicas ao longo dos cantos do lattice, uma sobreposta a outra nos cantos;
2. As barreiras foram implementadas nos cantos e no duto de forma separada entre eles;
3. A condição de axissimetria foi implementada fazendo com que não haja reflexão não-física na parte aberta do lattice;
4. O *chirp* foi implementado utilizando a condição anecóica de massa variante e velocidade de partícula e mach 0.07 para os dois casos respectivamente.

## 1.2 Códigos

Segue os códigos desenvolvidos:

[illegible]

```

11 |
12 | tic
13 | % Block 1
14 | %%%%%%%%%%%%%%%%%%%%%%%%%%%%%%%%%%%%%%%%%%%%%%%%%%%%%%%%%%%%%%%%%%%%%%%%%%
15 | %%% Lattice size
16 | %%%%%%%%%%%%%%%%%%%%%%%%%%%%%%%%%%%%%%%%%%%%%%%%%%%%%%%%%%%%%%%%%%%%%%%%%%
17 |
18 | Nr = 251; % Number of lines (cells in the y
19 | direction)
20 | Mc = 502; % Number of columns (cells in the x
21 | direction)
22 |
23 | % Block 2
24 | %%%%%%%%%%%%%%%%%%%%%%%%%%%%%%%%%%%%%%%%%%%%%%%%%%%%%%%%%%%%%%%%%%%%%%%%%%
25 | %%% Physical parameters (macro)
26 | %%%%%%%%%%%%%%%%%%%%%%%%%%%%%%%%%%%%%%%%%%%%%%%%%%%%%%%%%%%%%%%%%%%%%%%%%%
27 | c_p = 340; % Sound velocity on the fluid [m/s]
28 | rho_p = 1.2; % physical density [kg/m^3]
29 | rho_l = 1; % Fluid density [kg/m^3]
30 | Lx = .5; % Maximun dimenssion in the x direction
31 | [m]
32 | Ly = 0.0833; % Maximun dimenssion on th y direction
33 | [m]
34 | Dx = Lx/Mc % Lattice space (pitch)
35 | Dt = (1/sqrt(3))*Dx/c_p % lattice time step
36 |
37 | % Block 3
38 | %%%%%%%%%%%%%%%%%%%%%%%%%%%%%%%%%%%%%%%%%%%%%%%%%%%%%%%%%%%%%%%%%%%%%%%%%%
39 | %%% Lattice parameters (micro - lattice unities)
40 | %%%%%%%%%%%%%%%%%%%%%%%%%%%%%%%%%%%%%%%%%%%%%%%%%%%%%%%%%%%%%%%%%%%%%%%%%%
41 | omega = 1.9; % Relaxation
42 | frequency
43 | tau = 1/omega; % Relaxation time
44 | rho_l = 1; % avereged fluid
45 | density (latice density
46 | cs = 1/sqrt(3); % lattice speed of

```

```

    sound
cs2 = cs^2;                                % Squared speed of
    sound cl^2
45 visc = cs2*(1/omega-0.5);                % lattice viscosity
    visc_phy = visc*(Dx^2)/Dt;              % physical
    kinematic viscosity
47
49 % Block 4
    %
    %%%%%%%%%%%%%%%%%%%%%%%%%%%%%%%%%%%%%%%%%%%%%%%%%%%%%%%%%%%%%%%%%%%%%%%%%%
51 %% Lattice properties for the D2Q9 model
    %
    %%%%%%%%%%%%%%%%%%%%%%%%%%%%%%%%%%%%%%%%%%%%%%%%%%%%%%%%%%%%%%%%%%%%%%%%%%
53
    N_c=9 ;                                % number of
    directions of the D2Q9 model
55 C_x=[1 0 -1  0 1 -1 -1  1 0];            % velocity
    vectors in x
    C_y=[0 1  0 -1 1  1 -1 -1 0];           % velocity
    vectors in y
57 w0=16/36. ; w1=4/36. ; w2=1/36.;        % lattice weights
    W = [w1 w1 w1 w1 w2 w2 w2 w2 w0];
59 f1=3.;
    f2=4.5;
61 f3=1.5;                                  % coef. of the f
    equil.

63 % Array of distribution and relaxation functions
    f=zeros(Nr,Mc,N_c);
65 feq=zeros(Nr,Mc,N_c);

67 % Filling the initial distribution function (at t=0) with initial
    values
    f(:, :, :)=rho_l/9;
69 ux = zeros(Nr, Mc);
    uy = zeros(Nr, Mc);

```

```

71 | % Calculando a condicao anecoica
73 | % 4.0.1 – Adding conditions anechoic
    | distance = 30;
75 | % condicao anecoica para cima
    | growth_delta = 0.5;
77 | [sigma_mat9_cima Ft_cima] = build_anechoic_condition(Mc, ...
    | Nr, distance, growth_delta);
79 | % condicao anecoica para esquerda
    | growth_delta = -1;
81 | [sigma_mat9_esquerda Ft_esquerda] = build_anechoic_condition(Mc, ...
    | Nr, distance, growth_delta);
83 | % condicao anecoica para direita
    | growth_delta = 1;
85 | [sigma_mat9_direito Ft_direito] = build_anechoic_condition(Mc, ...
    | Nr, distance, growth_delta);
87 |
    | % Vendo pontos de barreira da xirizuda
89 | x1 = [2 2 501 501];
    | y1 = [1 250 250 1];
91 | [vec1,vec2,vec3,vec4,vec5,vec6,vec7,vec8] = crossing3(Nr,Mc,x1,y1);
    | %x1 = [250 250];
93 | %y1 = [1 50];
    | x1 = [33 33 250];
95 | y1 = [1 21 21];
    | [vec1_duto,vec2_duto,vec3_duto,vec4_duto,vec5_duto,vec6_duto,
    |     vec7_duto,vec8_duto] = ...
97 | crossing3(Nr,Mc,x1,y1);
    |
99 | %Block 5
    | %
    | %%%%%%%%%%%%%%%%%%%%%%%%%%%%%%%%%%%%%%%%%%%%%%%%%%%%%%%%%%%%%%%%%%%%%%%%%%
101 | %% Begin the interactive process
    | %
    | %%%%%%%%%%%%%%%%%%%%%%%%%%%%%%%%%%%%%%%%%%%%%%%%%%%%%%%%%%%%%%%%%%%%%%%%%%
103 | % Construindo chirp
    | total_time = 5*Mc*sqrt(3); % meia hora = 20*Mc*sqrt(3)

```

```

105 times = 0 : total_time - 1;
    initial_frequency = 0;
107 frequency_max_lattice = 1.8/(2*pi*20*sqrt(3));
    source_chirp = chirp(times, ...
109 initial_frequency, times(end), frequency_max_lattice);
    % vetores de pressao e velocidade de particula
111 pressure(1:total_time) = 0;
    particle_velocity(1:total_time) = 0;
113 for ta = 1 : total_time

    % Block 5.1
    %%%%%%%%%%%%%%%%%%%%%%%%%%%%%%%%%%%%%%%%%%%%%%%%%%%%%%%%%%%%%%%%%%%%%%%%%%%
117 %% propagation (streaming)
    %%%%%%%%%%%%%%%%%%%%%%%%%%%%%%%%%%%%%%%%%%%%%%%%%%%%%%%%%%%%%%%%%%%%%%%%%%%

119
    f(:, :, 1) = [ f(:, 1:2, 1) f(:, 2:Mc-1, 1) ];
121 f(:, :, 2) = [ f(1:2, :, 2); f(2:Nr-1, :, 2) ];
    f(:, :, 3) = [ f(:, 2:Mc-1, 3) f(:, Mc-1:Mc, 3) ];
123 f(:, :, 4) = [ f(2:Nr-1, :, 4); f(Nr-1:Nr, :, 4) ];
    f(:, :, 5) = [ f(:, 1:2, 5) f(:, 2:Mc-1, 5) ];
125 f(:, :, 5) = [ f(1:2, :, 5); f(2:Nr-1, :, 5) ];
    f(:, :, 6) = [ f(:, 2:Mc-1, 6) f(:, Mc-1:Mc, 6) ];
127 f(:, :, 6) = [ f(1:2, :, 6); f(2:Nr-1, :, 6) ];
    f(:, :, 7) = [ f(:, 2:Mc-1, 7) f(:, Mc-1:Mc, 7) ];
129 f(:, :, 7) = [ f(2:Nr-1, :, 7); f(Nr-1:Nr, :, 7) ];
    f(:, :, 8) = [ f(:, 1:2, 8) f(:, 2:Mc-1, 8) ];
131 f(:, :, 8) = [ f(2:Nr-1, :, 8); f(Nr-1:Nr, :, 8) ];

133 G=f;
    f(vec1)=G(vec3);
135 f(vec3)=G(vec1);
    f(vec2)=G(vec4);
137 f(vec4)=G(vec2);
    f(vec5)=G(vec7);
139 f(vec7)=G(vec5);
    f(vec6)=G(vec8);
141 f(vec8)=G(vec6);

143 G=f;

```

```

145     f(vec1_duto)=G(vec3_duto);
147     f(vec3_duto)=G(vec1_duto);
149     f(vec2_duto)=G(vec4_duto);
151     f(vec4_duto)=G(vec2_duto);
153     f(vec5_duto)=G(vec7_duto);
155     f(vec7_duto)=G(vec5_duto);
157     f(vec6_duto)=G(vec8_duto);
159     f(vec8_duto)=G(vec6_duto);

% Block 5.2
%%%%%%%%%%%%%%%%%%%%%%%%%%%%%%%%%%%%%%%%%%%%%%%%%%%%%%%%%%%%%%%%%%%%%%%%%%%%%%
% recalculating rho and u
%%%%%%%%%%%%%%%%%%%%%%%%%%%%%%%%%%%%%%%%%%%%%%%%%%%%%%%%%%%%%%%%%%%%%%%%%%%%%%
rho=sum(f,3);

%
%%%%%%%%%%%%%%%%%%%%%%%%%%%%%%%%%%%%%%%%%%%%%%%%%%%%%%%%%%%%%%%%%%%%%%%%%%%%%%
%% Calculando uma fonte ABC dentro do duto
% direita = 0.5
density_source = rho_l + 0.0001*source_chirp(ta);
Ux_t = (0.0001*source_chirp(ta))/sqrt(3) + 0.07*cs;
Uy_t = 0;
point_y = 1;
distance_y = 18;
point_x = 34;
distance_x = 30;
direction = 0.5;
[sigma_source Ft_source] = build_source_anechoic(Nr, Mc, ...
density_source, Ux_t, Uy_t, point_y, ...
point_x, distance_x, distance_y, direction);
%%%%%%%%%%%%%%%%%%%%%%%%%%%%%%%%%%%%%%%%%%%%%%%%%%%%%%%%%%%%%%%%%%%%%%%%%%%%%%

%if ta == 1
%rho(15, 100) = rho_l + 0.0001 *sin(ta);
%end

rt0= w0*rho;
rt1= w1*rho;
rt2= w2*rho;

```

```

183 % Determining the velocities according to Eq.( ) (see slides)
    ux = (C_x(1).*f(:, :, 1)+C_x(2).*f(:, :, 2)+C_x(3).*f(:, :, 3)+C_x(4).*
f(:, :, 4)+C_x(5).*f(:, :, 5)+C_x(6).*f(:, :, 6)+C_x(7).*f(:, :, 7)+C_x(8)
.*f(:, :, 8))./rho ;
185 uy = (C_y(1).*f(:, :, 1)+C_y(2).*f(:, :, 2)+C_y(3).*f(:, :, 3)+C_y(4).*
f(:, :, 4)+C_y(5).*f(:, :, 5)+C_y(6).*f(:, :, 6)+C_y(7).*f(:, :, 7)+C_y(8)
.*f(:, :, 8))./rho ;

187
189 % Block 5.3
%%%%%%%%%%%%%%%%%%%%%%%%%%%%%%%%%%%%%%%%%%%%%%%%%%%%%%%%%%%%%%%%%%%%%%%%%%%%%%
%% Determining the relaxation functions for each direction
191 %%%%%%%%%%%%%%%%%%%%%%%%%%%%%%%%%%%%%%%%%%%%%%%%%%%%%%%%%%%%%%%%%%%%%%%%%%%%%%%
    uxsq=ux.^2;
193 uysq=uy.^2;
    usq=uxsq+uysq;

195
    feq(:, :, 1)= rt1 .* (1 +f1*ux +f2.*uxsq -f3*usq);
197 feq(:, :, 2)= rt1 .* (1 +f1*uy +f2.*uysq -f3*usq);
    feq(:, :, 3)= rt1 .* (1 -f1*ux +f2.*uxsq -f3*usq);
199 feq(:, :, 4)= rt1 .* (1 -f1*uy +f2.*uysq -f3*usq);
    feq(:, :, 5)= rt2 .* (1 +f1*(+ux+uy) +f2*(+ux+uy).^2 -f3.*usq);
201 feq(:, :, 6)= rt2 .* (1 +f1*(-ux+uy) +f2*(-ux+uy).^2 -f3.*usq);
    feq(:, :, 7)= rt2 .* (1 +f1*(-ux-uy) +f2*(-ux-uy).^2 -f3.*usq);
203 feq(:, :, 8)= rt2 .* (1 +f1*(+ux-uy) +f2*(+ux-uy).^2 -f3.*usq);
    feq(:, :, 9)= rt0 .* (1 - f3*usq);

205
207 % Block 5.4
%%%%%%%%%%%%%%%%%%%%%%%%%%%%%%%%%%%%%%%%%%%%%%%%%%%%%%%%%%%%%%%%%%%%%%%%%%%%%%
% Collision (relaxation) step
209 %%%%%%%%%%%%%%%%%%%%%%%%%%%%%%%%%%%%%%%%%%%%%%%%%%%%%%%%%%%%%%%%%%%%%%%%%%%%%%%

211 %% Condição Axissimétrica
    % termo de primeira ordem
213 % y por x
    h_1_leaf = zeros(Nr, Mc);
215 radius = 1:Nr;
    radius = radius';

```



```

217     for column = 1:Mc
        h_1_leaf(:, column) = uy(:, column)./radius;
219     end

        % construindo a matriz com os pesos de cada direcao
221     h_1 = zeros(Nr,Mc,N_c);
        for direction = 1:9
223         h_1(:, :, direction) = -W(direction)*rho_l*h_1_leaf;
        end

225     % termo de segunda ordem
227     % parte 1
        part_1_second_term = zeros(Nr, Mc); % Nr => y; Mc => x;
229     part_1_second_term = diff(rho, 1, 1)*cs2;
        part_1_second_term(Nr, :) = part_1_second_term(Nr - 1, :);
231
        % parte 2
233     part_2_second_term = zeros(Nr, Mc); % Nr => y; Mc => x;
        u_r = uy;
235     derivada_ux_x = diff(ux, 1, 2);
        derivada_ux_x(:, Mc) = derivada_ux_x(:, Mc - 1);
237     derivada_ur_x = diff(u_r, 1, 2);
        derivada_ur_x(:, Mc) = derivada_ur_x(:, Mc - 1);
239     derivada_ux_ur_x = derivada_ux_x.*u_r + derivada_ur_x.*ux;
        part_2_second_term = rho_l*derivada_ux_ur_x;
241
        % parte 3
243     part_3_second_term = zeros(Nr, Mc); % Nr => y; Mc => x;
        derivada_ur_r = diff(u_r, 1, 1);
245     derivada_ur_r(Nr, :) = derivada_ur_r(Nr - 1, :);
        derivada_ur_ur_r = 2*u_r.*derivada_ur_r;
247     part_3_second_term = rho_l*derivada_ur_ur_r;

249     % termo parcial para as 9 direcoes
        partial_part_second_term = zeros(Nr, Mc, 9);
251     for direction = 1:9
        partial_part_second_term(:, :, direction) = part_1_second_term
+ ...
253         part_2_second_term + part_3_second_term;
        end

```

```

255 % parte 4
257 part_4_second_term = zeros(Nr, Mc, 9); % Nr => y; Mc => x;
    derivada_ux_r = diff(ux, 1, 1);
259 derivada_ux_r(Nr, :) = derivada_ux_r(Nr - 1, :);
    for direction = 1:9
261         part_4_second_term(:, :, direction) = ...
            rho_l*(derivada_ux_r - derivada_ur_x)*C_x(direction);
263     end

265 % parte total
    total_part_second_term = part_4_second_term +
partial_part_second_term;

267 % calculando matriz de viscosidade
269 omega_matrix_second_term = zeros(Nr, Mc, 9);
    viscosity_matrix(1:Nr, 1:Mc) = 3*visc;
271 radius = 1:Nr;
    radius = radius';
273 for point_x = 1 : Mc
        viscosity_matrix(:, point_x) = viscosity_matrix(:, point_x)./
radius;
275     end
    for direction = 1 : 9
277         omega_matrix_second_term(:, :, direction) = ...
            W(direction)*viscosity_matrix;
279     end

281 % finalmente o termo de segunda ordem
    h_2 = omega_matrix_second_term.*total_part_second_term;
283
285 % colidindo tudo
    f = (1-omega)*f + omega*feq ...
    - sigma_mat9_cima.*(feq- Ft_cima) ...
287 - sigma_mat9_esquerda.*(feq- Ft_esquerda) ...
    - sigma_mat9_direito.*(feq- Ft_direito) ...
289 - sigma_source.*(feq- Ft_source) ...
    + h_1 + h_2;
291

```

```

293     % Ploting the results in real time
    %surf(rho-1), view(2), shading flat, axis equal, caxis([-0.00001
    .00001])
295     %grid off
    %if mod(ta, 100) == 0
297         %vorticidade = curl(ux, uy);
        %velocity = sqrt(ux.^2 + uy.^2);
299         %imagesc(flip(vorticidade))
        %imagesc(flip(rho-1), [-0.00001 .00001]);
301         %pause(.00001);
        %disp('Progresso: ');
303         %disp((ta/total_time*100));
    %end
305     pressure(ta) = (mean(rho(1:19, 250)-1))*cs2;
    particle_velocity(ta) = mean(ux(1:19, 250) - 0.07*cs);
307     %disp('Progresso: ');
    %disp((ta/total_time*100));
309 end % End main time Evolution Loop

311 fft_pressure = fft(pressure);
    fft_particle_velocity = fft(particle_velocity);
313 impedance = fft_pressure./fft_particle_velocity;
    number_helmholtz_max = (2*pi*20)/cs;
315 numbers_helmholtz = linspace(0, number_helmholtz_max, length(
        particle_velocity));

317 figure(2);
    max_normalization = max([max(abs(real(impedance))) max(abs(real(
        impedance)))]);
319 plot(numbers_helmholtz, real(impedance)/max_normalization);
    hold on;
321 plot(numbers_helmholtz, imag(impedance)/max_normalization, 'r');
    ylabel('Impedancia','FontSize',20);
323 xlabel('Numero de Helmholtz','FontSize',20);
    title('Impedancia do Sistema','FontSize',20);
325 legend('Real', 'Imaginaria');
    axis([0 15 -1.3 1.3]);
327

```

[toc](#)

code/lista\_3.m

```

%% build_anechoic_condition: function description
2 function [sigma_mat9 Ft] = build_anechoic_condition(
    number_lines_lattice , ...
    number_columns_lattice , distance , growth_delta)
4
    lattice_sound_speed = 1/sqrt(3);
6    lattice_sound_speed_pow_2 = lattice_sound_speed^2;
    w1=4/9;      % centro      %pesos de relaxacao devido ao D2Q9 (pg.20)
8    w2=1/9;      % ortogonais
    w3=1/36;      % diagonais
10    coef1= 1/(2*lattice_sound_speed_pow_2^2); %para uso na relaxacao
    coef2= -1/(2*lattice_sound_speed_pow_2);
12    % funcoes distribuicao (Eq. 1.46)
    Ft = zeros(number_lines_lattice , number_columns_lattice , 9);
14    %funcoes target
    Ux_t=0;
16    Uy_t=0;
    U_t=Ux_t^2+Uy_t^2;
18    densi_t = 1;
    Ft(:, :, 9)= w1*densi_t.*(1+coef2*U_t);
20    Ft(:, :, 1)= w2*densi_t.*(1 +Ux_t/lattice_sound_speed_pow_2 +coef1*(
        Ux_t.^2 )+coef2*U_t);
    Ft(:, :, 2)= w2*densi_t.*(1 +Uy_t/lattice_sound_speed_pow_2 +coef1*(
        Uy_t.^2 ) +coef2*U_t);
22    Ft(:, :, 3)= w2*densi_t.*(1 -Ux_t/lattice_sound_speed_pow_2 +coef1*(
        Ux_t.^2 )+coef2*U_t);
    Ft(:, :, 4)= w2*densi_t.*(1 -Uy_t/lattice_sound_speed_pow_2 +coef1*(
        Uy_t.^2 ) +coef2*U_t);
24    Ft(:, :, 5)= w3*densi_t.*(1 +(Ux_t+Uy_t)/lattice_sound_speed_pow_2 +
        coef1*((Ux_t+Uy_t).^2) +coef2*U_t);
    Ft(:, :, 6)= w3*densi_t.*(1 +(-Ux_t+Uy_t)/lattice_sound_speed_pow_2 +
        coef1*((-Ux_t+Uy_t).^2) +coef2*U_t);
26    Ft(:, :, 7)= w3*densi_t.*(1 +(-Ux_t-Uy_t)/lattice_sound_speed_pow_2 +
        coef1*((-Ux_t-Uy_t).^2) +coef2*U_t);

```

```

Ft(:, :, 8) = w3*densi_t.*(1 + (+Ux_t-Uy_t)/lattice_sound_speed_pow_2 +
coef1*((+Ux_t-Uy_t).^2) +coef2*U_t);
28 %
D_t = distance; % em numero de celulas
30 sigma_t = 0.3;
delta_t = 0:D_t - 1;
32 sigma = sigma_t*(delta_t/D_t).^2;
sigma = sigma';
34 sigma_mat = [];

36 % x e y nesse caso
sigma_mat9 = zeros(number_lines_lattice, number_columns_lattice, 9)
;
38 matrix_sigma_leaf = zeros(number_lines_lattice,
number_columns_lattice);
% condicao anecoica para a direita
40 if growth_delta == 1
% construindo a matriz de nove folhas sigma
42 size_x = number_lines_lattice - D_t + 1 : number_lines_lattice;
size_y = 1:number_columns_lattice;
44 matrix_sigma_leaf(size_x, size_y) = 1;

46 for number_column = 1: number_columns_lattice
matrix_sigma_leaf(size_x, number_column) = ...
48 matrix_sigma_leaf(size_x, number_column).*sigma;
end
50 % condicao anecoica para a esquerda
elseif growth_delta == -1
52 % construindo a matriz de nove folhas sigma
size_x = 1 : D_t;
54 size_y = 1 : number_columns_lattice;
matrix_sigma_leaf(size_x, size_y) = 1;
56 for number_column = 1: number_columns_lattice
matrix_sigma_leaf(size_x, number_column) = ...
58 matrix_sigma_leaf(size_x, number_column).*flip(sigma);
end
60 % condicao anecoica para cima
elseif growth_delta == 0.5
62 size_x = 1 : number_lines_lattice;

```

```

        size_y = number_columns_lattice - D_t + 1 :
        number_columns_lattice;
64     matrix_sigma_leaf(size_x, size_y) = 1;
        for number_line = 1 : number_lines_lattice
66         matrix_sigma_leaf(number_line, size_y) = ...
            matrix_sigma_leaf(number_line, size_y).*sigma';
68     end
    % condicao anecoica para baixo
70     elseif growth_delta == -0.5
        size_x = 1 : number_lines_lattice;
72     size_y = 1 : D_t;
        matrix_sigma_leaf(size_x, size_y) = 1;
74     for number_line = 1 : number_lines_lattice
        matrix_sigma_leaf(number_line, size_y) = ...
76         matrix_sigma_leaf(number_line, size_y).*flip(sigma)';
        end
78     end

80     for number_leaf = 1:9
        sigma_mat9(:, :, number_leaf) = matrix_sigma_leaf;
82     end

84     % Agora eh y por x
        sigma_mat9_aux = zeros(number_columns_lattice, number_lines_lattice
            , 9);
86     Ft_aux = zeros(number_columns_lattice, number_lines_lattice, 9);
        for direction = 1 : 9
88         sigma_mat9_aux(:, :, direction) = sigma_mat9(:, :, direction)';
            Ft_aux(:, :, direction) = Ft(:, :, direction)';
90     end
        sigma_mat9 = sigma_mat9_aux;
92     Ft = Ft_aux;

```

code/build\_anechoic\_condition.m

```

%% build_source_anechoic: direction = 1 (virado para cima)
2 %           direction = -1 (virado para baixo)
  %           direction = 0.5 (virado para direita)
4 %           direction = -0.5 (virado para esquerda)

```

```

function [sigma_source Ft_source] = build_source_anechoic(Nr, Mc, ...
6 density, Ux_t, Uy_t, point_y, point_x, distance_x, distance_y,
    direction)

8 lattice_sound_speed = 1/sqrt(3);
lattice_sound_speed_pow_2 = lattice_sound_speed^2;
10 cs2 = lattice_sound_speed_pow_2;
cs = lattice_sound_speed;
12 w1=4/9;      % centro %pesos de relaxacao devido ao D2Q9 (pg.20)
w2=1/9;      % ortogonais
14 w3=1/36;    % diagonais
coef1= 1/(2*cs2); %para uso na relaxacao
16 coef2= -1/(2*cs2);
% funcoes distribuicao (Eq. 1.46)
18 Ft_source = zeros(Nr, Mc, 9);
%funcoes target
20 Ux_t = Ux_t;
Uy_t = Uy_t;
22 U_t=Ux_t^2+Uy_t^2;
densi_t = density;
24 Ft_source(:, :, 9) = w1*densi_t.*(1+coef2*U_t);
Ft_source(:, :, 1) = w2*densi_t.*(1 +Ux_t/cs2 +coef1*(Ux_t.^2 )+coef2*
    U_t);
26 Ft_source(:, :, 2) = w2*densi_t.*(1 +Uy_t/cs2 +coef1*(Uy_t.^2 ) +coef2
    *U_t);
Ft_source(:, :, 3) = w2*densi_t.*(1 -Ux_t/cs2 +coef1*(Ux_t.^2 )+coef2*
    U_t);
28 Ft_source(:, :, 4) = w2*densi_t.*(1 -Uy_t/cs2 +coef1*(Uy_t.^2) +coef2*
    U_t);
Ft_source(:, :, 5) = w3*densi_t.*(1 +(Ux_t+Uy_t)/cs2 +coef1*((Ux_t+
    Uy_t).^2) +coef2*U_t);
30 Ft_source(:, :, 6) = w3*densi_t.*(1 +(-Ux_t+Uy_t)/cs2 +coef1*((-Ux_t+
    Uy_t).^2) +coef2*U_t);
Ft_source(:, :, 7) = w3*densi_t.*(1 +(-Ux_t-Uy_t)/cs2 +coef1*((-Ux_t-
    Uy_t).^2) +coef2*U_t);
32 Ft_source(:, :, 8) = w3*densi_t.*(1 +(Ux_t-Uy_t)/cs2 +coef1*((Ux_t-
    Uy_t).^2) +coef2*U_t);

34 % posicionando a fonte

```

```
sigma_source = zeros(Nr, Mc, 9);
36 % assintota para a direita
if direction == 0.5
38     sigma_t = 0.3;
    delta_t = 0:distance_x;
40     sigma = sigma_t*(delta_t/distance_x).^2;
    sigma_source_leaf = zeros(Nr, Mc);
42     size_x = point_x : point_x + distance_x;
    size_y = point_y : point_y + distance_y;
44     sigma_source_leaf(size_y, size_x) = 1;
    for point_y = size_y(1) : size_y(end)
46         sigma_source_leaf(point_y, size_x) = ...
            sigma_source_leaf(point_y, size_x).*flip(sigma);
48     end
    for direction = 1:9
50         sigma_source(:, :, direction) = sigma_source_leaf(:, :);
    end
52 end
```

code/build\_source\_anechoic.m



### 1.3 Resultados

Segue os gráficos obtidos:

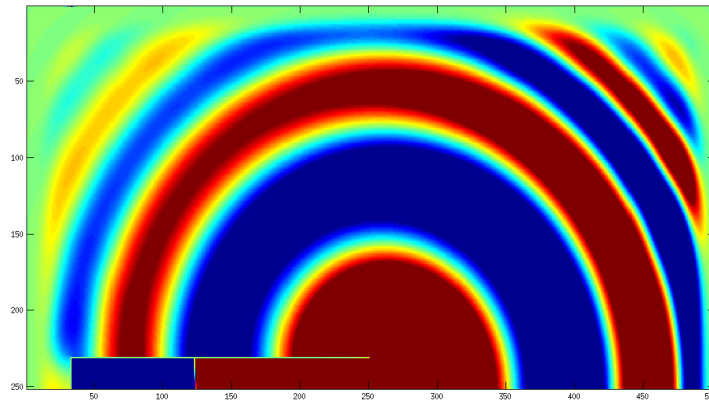


Figura 1: Gráfico de densidades.

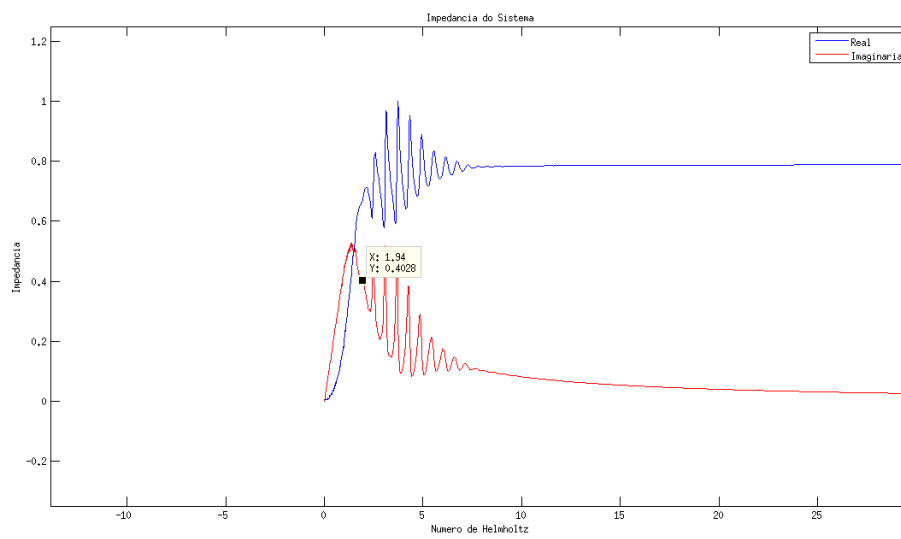


Figura 2: Gráfico de impedância sem escoamento.

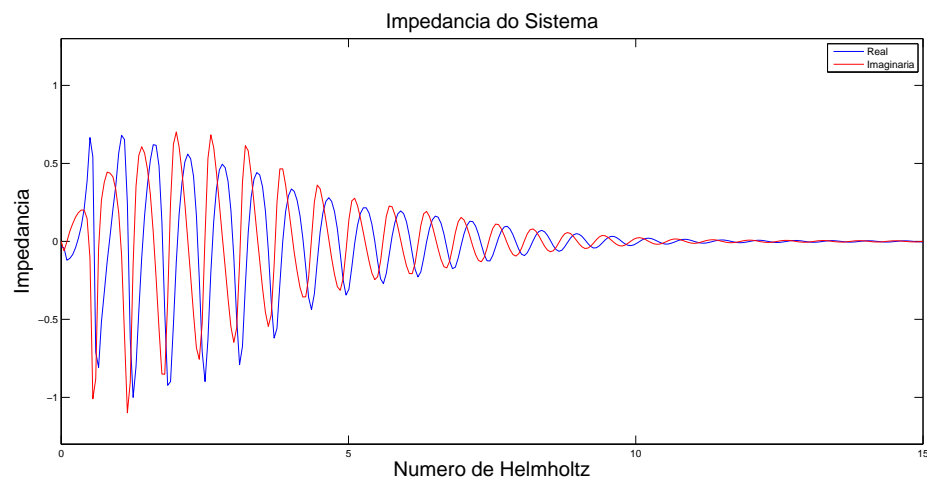


Figura 3: Gráfico de impedância com escoamento ( $Mach = 0.07$ ).

## 2 Paredes Não-Alinhada

Para o desenvolvimento dessa questão foi criada uma nova função com essa assinatura:

```
1 function [q, vecloc] = funcao(i, vecx, vecy, Nr, Mc)
```

Ela recebe os parâmetros de número de colunas (Nr), número de linhas (Mc), pontos da parede não-alinhada ao longo da ordenada (vecy), pontos da parede não-alinhada ao longo da abscissa (vecx) e direção da célula lattice (i) que pode variar de 1 a 9. Nesse caso só foi possível implementar na direção 1, ou seja, todas as células que cruzam para a direita a barreira não-alinhada. De retorno a função devolve a matriz das distâncias das células que cruzam a barreira (q) e a matriz de células que cruzam a barreira.

O algoritmo pensado para resolver esse problema possui os seguintes passos:

1. Verificar se os pontos da barreira estão dentro do tamanho da matriz de lattice:

```
1 % verify if the points is inside of lattice
   is_not_points_inside_lattice = ...
3 min(vecx) < 1 || max(vecx) > Mc ...
   || min(vecy) < 1 || max(vecy) > Nr;
5 if is_not_points_inside_lattice
   i = -1;
7   message = 'The points x and y are outside of lattice.';
   disp(message);
9 end
```

2. Assumir uma rota de processamento para a direção lattice  $i$  inserida:

```
1      if i == 1
```

3. Restringir o domínio de lattice num quadrado de tamanho mínimo que caiba toda a barreira não-alinhada:

```
1      vecloc = zeros(Nr, Mc);  
      q = zeros(Nr, Mc);  
3      % square that have the entire points  
      square_x = [ floor(min(vecx)) ceil(max(vecx)) ];  
5      square_y = [ floor(min(vecy)) ceil(max(vecy)) ];
```

4. Ir iterando em todas as alturas dentro do quadrado mínimo calculado:

```
1      for point_y = square_y(1):square_y(2)
```

5. Calcular os dois pontos mais próximos para fazer a interpolação:

```
1      % looking for a x point  
      % (Verify whats p1 and p2 is nearest from height)  
3      distances_y = abs(vecy - point_y);  
      slot_min = find(distances_y == min(distances_y));  
5      p2_y = vecy(slot_min);  
      p2_x = vecx(slot_min);  
7      distances_y(slot_min) = 10e10;  
      slot_min = find(distances_y == min(distances_y));  
9      p1_y = vecy(slot_min);  
      p1_x = vecx(slot_min);  
11
```

6. Realizar a interpolação linear:

```

2      % Agora tenho p1 e p2, tenho que agora fazer a
      % interpolacao linear para achar o p3
      % equacao da reta:  $y = ax + b$ 
4      a = (p2_y - p1_y)/(p2_x - p1_x);
      b = p1_y - a*p1_x;
6      p3_x = (point_y - b)/a;

```

7. Calculando a distância e adquirindo a célula que cruza a barreira a direita:

```

      % e calcular a distancia em x do ponto que eu to para o x de
      p3
2      distances_points = [square_x(1):square_x(2)] - p3_x;
      distances_points = abs(distances_points);
4      point_x = find(distances_points == min(distances_points));
      vecloc(point_y, point_x) = 1;
6      q(point_y, point_x) = min(distances_points);

```

Segue o código em sua totalidade:

```

function [q, vecloc] = funcao(i, vecx, vecy, Nr, Mc)
2
      % verify if the points is inside of lattice
4      is_not_points_inside_lattice = ...
      min(vecx) < 1 || max(vecx) > Mc ...
6      || min(vecy) < 1 || max(vecy) > Nr;
      if is_not_points_inside_lattice
8          i = -1;
          message = 'The points x and y are outside of lattice.';
10         disp(message);
      end
12
      % direction 1 of lattice cell
14     if i == 1

```

```

16     vecloc = zeros(Nr, Mc);
17     q = zeros(Nr, Mc);
18     % square that have the entire points
19     square_x = [floor(min(vecx)) ceil(max(vecx))];
20     square_y = [floor(min(vecy)) ceil(max(vecy))];
21     %vecloc(square_x(1):square_x(2), ...
22     %square_y(1):square_y(2)) = 1;
23
24     % getting points on the left of curve
25     distances_points = [];
26     for point_y = square_y(1):square_y(2)
27         % looking for a x point
28         % (Verify whats p1 and p2 is nearest from height)
29         distances_y = abs(vecy - point_y);
30         slot_min = find(distances_y == min(distances_y));
31         p2_y = vecy(slot_min);
32         p2_x = vecx(slot_min);
33         distances_y(slot_min) = 10e10;
34         slot_min = find(distances_y == min(distances_y));
35         p1_y = vecy(slot_min);
36         p1_x = vecx(slot_min);
37
38         % Agora tenho p1 e p2, tenho que agora fazer a
39         % interpolacao linear para achar o p3
40         % equacao da reta: y = ax + b
41         a = (p2_y - p1_y)/(p2_x - p1_x);
42         b = p1_y - a*p1_x;
43         p3_x = (point_y - b)/a;
44
45         % e calcular a distancia em x do ponto que eu to para o x de p3
46         distances_points = [square_x(1):square_x(2)] - p3_x;
47         distances_points = abs(distances_points);
48         point_x = find(distances_points == min(distances_points));
49         vecloc(point_y, point_x) = 1;
50         q(point_y, point_x) = min(distances_points);
51     end
52
53 else

```

```
54     q = 0; vecloc = 0;  
    end
```

code/funcao.m

Também segue o script para o teste da função criada:

```
% script de teste da funcao 'funcao'  
2 close all;  
  clear('all');  
4  
  i = 1;  
6 vecx = [1:40] + 0.3;  
  vecy = 20*sin([1:40] + 0.3) + 21;  
8 %vecy = ([1:40] + 0.3);  
  Nr = 50;  
10 Mc = 50;  
  [q, vecloc] = funcao(i, vecx, vecy, Nr, Mc);  
12  
  figure;  
14 h1 = axes;  
  imagesc(vecloc);  
16 hold on;  
  plot(vecx, vecy, 'black');  
18 grid on;  
  set(h1, 'Ydir', 'normal');  
20 legend('Parede Nao-Alinhada');  
  
22 figure;  
  h1 = axes;  
24 imagesc(q);  
  hold on;  
26 plot(vecx, vecy, 'black');  
  grid on;  
28 set(h1, 'Ydir', 'normal');  
  legend('Parede Nao-Alinhada');
```

code/teste\_funcao.m

Para o cálculo do quadrado mínimo que abrange a barreira não-alinhada foi adquirido tais resultados:

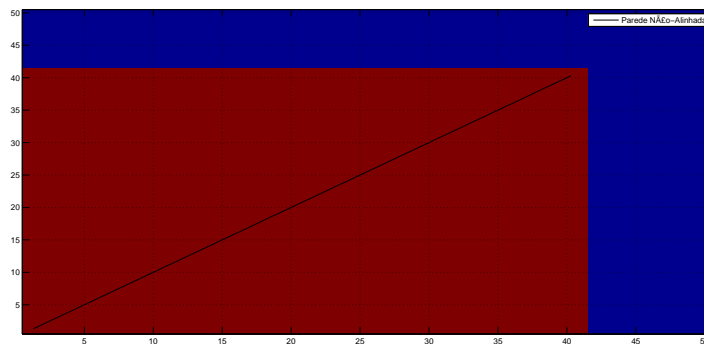


Figura 4: Barreira não-alinhada reta e deslocada em 0.3.

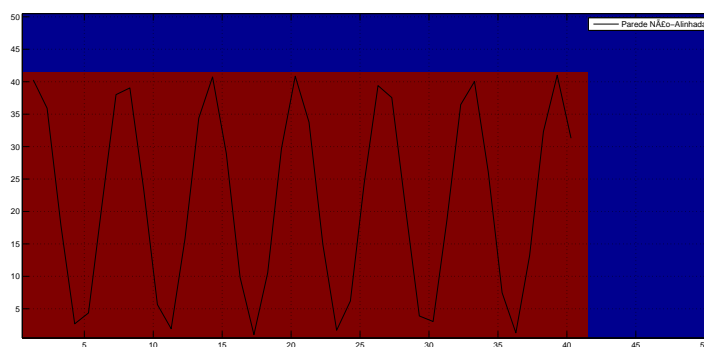


Figura 5: Barreira não-alinhada senoidal.

Para o cálculo das células que atravessam a barreira pela direita segue os resultados:



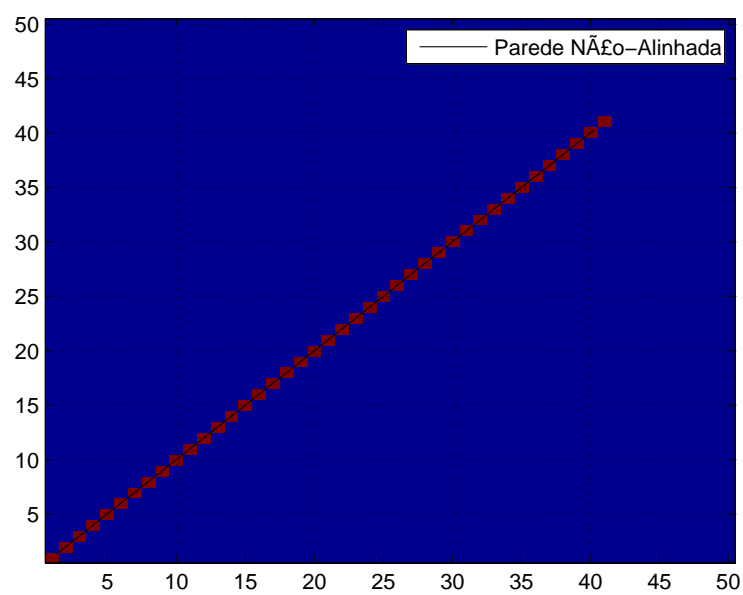


Figura 6: Células de Lattice que cruzam barreira não-alinhada reta e deslocada em 0.3.

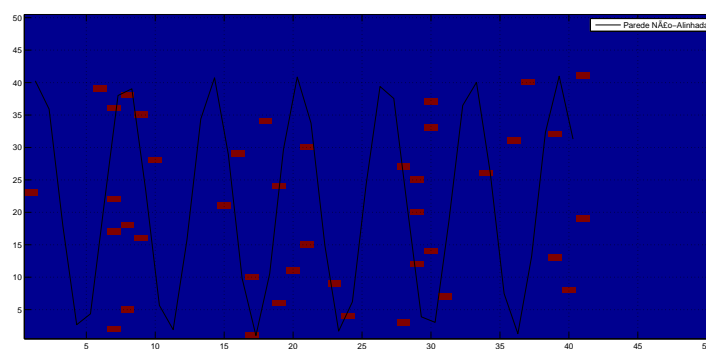


Figura 7: Células de Lattice que cruzam em barreira não-alinhada senoidal.

## Referências